

## ¿Qué hay de nuevo en la enfermedad del Alzheimer? 2023

### Anexos

Tabla N°1: Clasificación A/T/N

Clasificación	Descripción
A (amiloide)	Disminución de la relación LCR $A\beta_{42}$ o $A\beta_{42}/A\beta_{40}$ o PET amiloide positivo
T (taú)	Aumento de tau fosforilada en LCR o PET de tau positiva
N (neurodegeneración)	Atrofia en la RM estructural o disminución de la captación en la PET con $^{18}F$ -FDG o aumento de la tau total en el LCR

El amiloide y la tau se consideran biomarcadores definitorios de la EA. La neurodegeneración se utiliza para clasificar la gravedad de la enfermedad (independientemente de la patología de la EA).

Fuente: Teipel S. et.al. J Nucl Med.2022. Elaborado: Teipel S. et.al. J Nucl Med.2022.

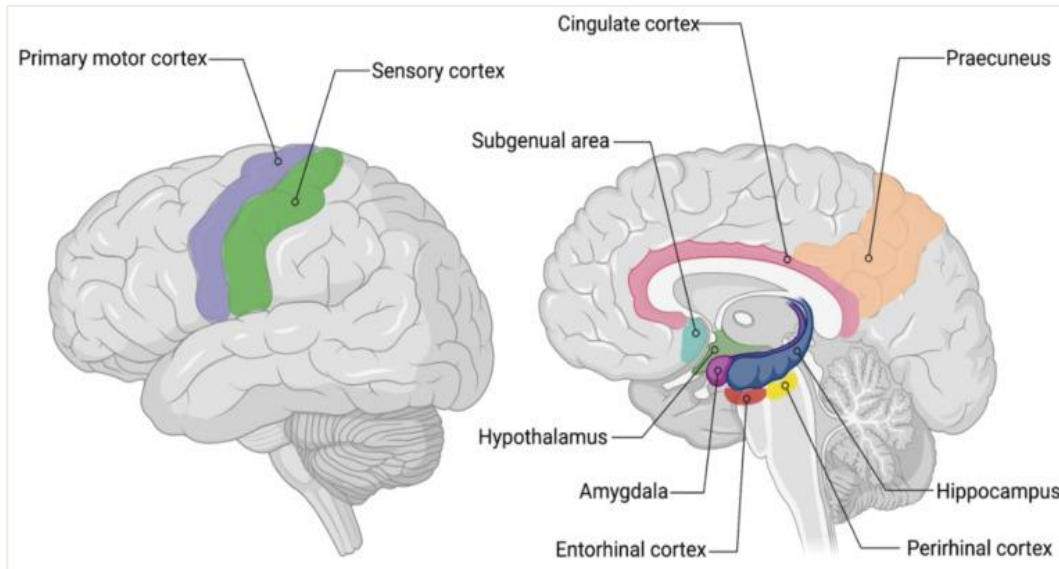
Tabla N°2: Sensibilidad y especificidad de biomarcadores

Parámetro	biomarcador	Sensibilidad	especificidad	Referencia
LCR	$A\beta_{1-42}$	96,4%	89%	( <a href="#">37</a> )
	Tau fosforilado	81%	91%	( <a href="#">37</a> )
	Valor medio de tau fosforilada			
	Tau 181 fosforilado	79%	96%	( <a href="#">38</a> )
	Tau 217 fosforilado	91%	91%	( <a href="#">38</a> )
	Tau total	81%	91%	( <a href="#">37</a> )
	Combinación de $A\beta_{1-42}$ y tau total o tau fosforilada	90%-95%	90%	( <a href="#">14</a> )
Plasma	Cadena ligera de neurofilamento*			( <a href="#">39</a> )
	$A\beta_{42}/A\beta_{40}$	70%	70%	( <a href="#">16</a> )
	Tau 181 fosforilado	92%	87%	( <a href="#">17</a> )
	Tau 217 fosforilado	93%	83%	( <a href="#">18</a> )

\* Marcador inespecífico de neurodegeneración, útil para monitorear la progresión de la enfermedad.

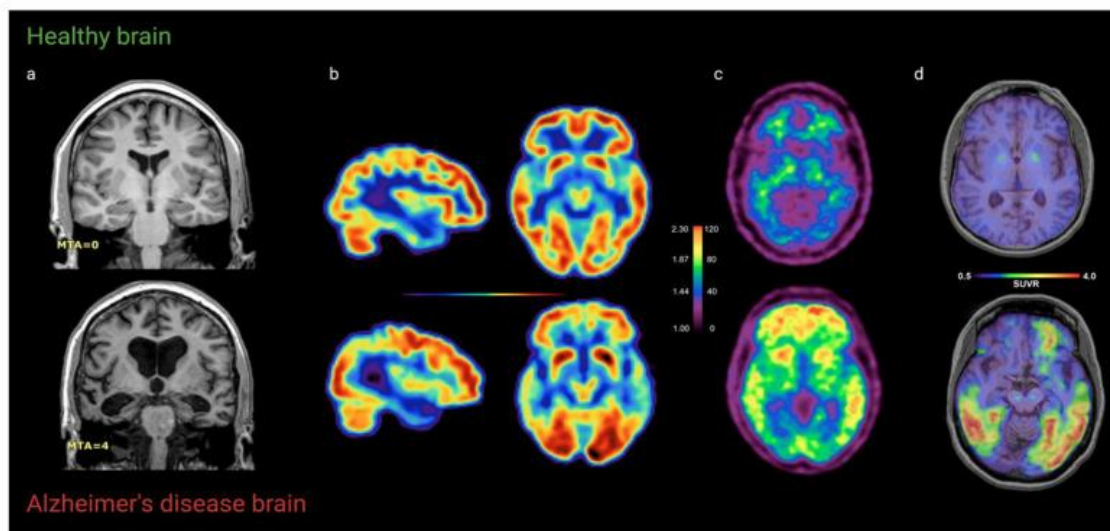
Fuente: Teipel S. et.al. J Nucl Med.2022. Elaborado: Teipel S. et.al. J Nucl Med.2022.

Gráfico N°1: Regiones afectadas por la enfermedad del Alzheimer



Fuente: van Oostveen et.al, 2021. Int J Mol Sci. Elaborado: van Oostveen et.al, 2021. Int J Mol Sci

Gráfico N°2: Neuroimágenes del cerebro sano versus el de la enfermedad de Alzheimer



**Fuente:** van Oostveen et.al, 2021. Int J Mol Sci. **Elaborado:** van Oostveen et.al, 2021. Int J Mol Sci  
Neuroimagen con (a) MRI estructural, (b) FDG-PET, (c) amiloide-PET con PiB y (d) tau PET con 18 F-AV1451 en cerebros sanos y con AD. Figura creada con [www.BioRender.com](http://www.BioRender.com) (consultado el 14 de febrero de 2021).